

• 实验研究 •

环状核糖核酸 0136474 调控骨关节炎软骨细胞增殖和凋亡的分子机制研究

张建军^{1△} 谭章琴¹ 冯璐¹

[摘要] 目的:探讨环状 RNA-0136474(circ_0136474)调控微小 RNA-127-5p(miR-127-5p)/Zest 同源物 2(EZH2)轴对骨关节炎(OA)软骨细胞增殖和凋亡的影响及其分子机制。方法:收集骨关节炎患者软骨组织并检测其中 circ_0136474 表达;IL-1 β 诱导人软骨细胞 CHON-001,并分为对照组、IL-1 β 组、si-NC 组、si-circ_0136474 组、si-circ_0136474+anti-miR-NC 组、si-circ_0136474+anti-miR-127-5p 组、miR-NC 组和 miR-127-5p mimics 组,CCK-8 法检测细胞活力,流式细胞仪检测细胞周期和细胞凋亡,RT-qPCR 检测 circ_0136474、miR-127-5p 及 EZH2、增殖细胞核抗原(PCNA) mRNA 表达,ELISA 试剂盒检测 IL-6、TNF- α 、MMP-13 含量,Western Blot 检测增殖细胞核抗原、Bcl-2、Bax、EZH2 蛋白表达,双荧光素酶报告基因实验验证 miR-127-5p 与 circ_0136474、EZH2 的靶向关系。结果:circ_0136474 在骨关节炎患者软骨组织中高表达。经 IL-1 β 诱导后,细胞活力、S 期、PCNA 表达、Bcl-2 表达和 miR-127-5p 显著降低,G0~G1 期细胞比例、细胞凋亡率、Bax、IL-6、TNF- α 、MMP-13、circ_0136474、EZH2 蛋白和 EZH2 mRNA 显著增加($P<0.05$);双荧光素酶报告基因实验显示,circ_0136474、EZH2 与 miR-127-5p 存在靶向关系,沉默 circ_0136474 可促进细胞增殖、延长 S 期,缩短 G0~G1 期,并抑制细胞凋亡,减少 IL-6、TNF- α 、MMP-13 含量($P<0.05$);抑制 miR-127-5p 表达可逆转沉默 circ_0136474 对细胞凋亡、IL-6、TNF- α 、MMP-13 的抑制作用($P<0.05$)。结论:circ_0136474 在骨关节炎软骨组织中高表达,沉默 circ_0136474 可通过调节 miR-127-5p/EZH2 轴促进软骨细胞增殖而抑制细胞凋亡。

[关键词] 环状核糖核酸;微小核糖核酸;骨关节炎;软骨细胞增殖;软骨细胞凋亡

[中图分类号] R684 **[文献标志码]** A **[文章编号]** 1005-0205(2024)03-0023-07

DOI: 10.20085/j.cnki.issn1005-0205.240305

Molecular Mechanism Study of Circular Ribonucleic Acid 0136474 in Regulating Proliferation and Apoptosis of Osteoarthritis Chondrocytes

ZHANG Jianjun^{1△} TAN Zhangqin¹ FENG Lu¹

¹Jianyang Chinese Medicine Hospital, Jianyang 641400, Sichuan China.

Abstract Objective: To investigate the effect of circular RNA-0136474 (circ_0136474) on the proliferation and apoptosis of osteoarthritis chondrocytes by regulating the micro RNA-127-5p (miR-127-5p)/Zest homolog 2 (EZH2) axis and its molecular mechanism. **Methods:** The osteoarthritis patients were collected. The expression of circ_0136474 in cartilage tissue of osteoarthritis patients was detected; human chondrocytes CHON-001 were induced by IL-1 β and divided into control group, IL-1 β group, si-NC group, si-circ_0136474 group, si-circ_0136474+anti-miR-NC group, si-circ_0136474+anti-miR-127-5p group, miR-NC group, and miR-127-5p mimics group. The CCK-8 was applied to detect the cell viability, flow cytometer was applied to detect the cell cycle and apoptosis, RT-qPCR was applied to detect the expression of circ_0136474, miR-127-5p, EZH2, and proliferating cell nuclear antigen (PCNA) mRNA, ELISA kit was applied to detect the levels of IL-6, TNF- α , and MMP-13, Western Blot was applied to detect the expression of PCNA, Bcl-2, Bax, and EZH2

基金项目:四川省中医药信息学会关于舒适化医疗(新晨基金)
专项科研课题(20200119)

¹简阳市中医医院(四川 简阳,641400)

△通信作者 E-mail:znmc11@163.com

proteins, double luciferase reporter gene experiment was applied to verify the targeting relationship between miR-127-5p and circ_0136474, EZH2. **Results:** The circ_0136474 was highly expressed in cartilage tissue of osteoarthritis patients; after induction by IL-1 β , the cell viability, S phase, PCNA ex-

pression, Bcl-2 expression, and miR-127-5p were obviously reduced, the proportion of G0-G1 phase cells, cell apoptosis rate, Bax, IL-6, TNF- α , MMP-13, circ_0136474, EZH2 protein, and EZH2 mRNA were obviously increased ($P<0.05$). The double luciferase reporter gene experiment showed that circ_0136474 and EZH2 had a targeting relationship with miR-127-5p, silencing circ_0136474 can promote cell proliferation, prolong the S phase, shorten the G0-G1 phase, inhibit cell apoptosis, reduce the levels of IL-6, TNF- α , and MMP-13 ($P<0.05$), inhibiting the expression of miR-127-5p can reverse the inhibitory effects of silencing circ_0136474 on cell apoptosis, IL-6, TNF- α , and MMP-13 ($P<0.05$). **Conclusion:** The circ_0136474 is highly expressed in osteoarthritis cartilage tissue, and silencing circ_0136474 can promote chondrocyte proliferation and inhibit cell apoptosis by regulating the miR-127-5p/EZH2 axis.

Keywords: circular ribonucleic acid; micro ribonucleic acid; osteoarthritis; chondrocyte proliferation; chondrocyte apoptosis

骨关节炎(OA)是一种慢性退行性关节病,多发于老年人,目前尚未发现治愈的方法^[1]。骨关节炎的发病与软骨细胞凋亡和持续的病理性炎症密切相关^[2]。研究表明 circ_0136474 在骨关节炎软骨组织中高表达,其通过抑制骨关节炎软骨细胞增殖,促进凋亡和炎症来促进骨关节炎进展^[3]。circ_0136474 通过竞争性结合 miR-127-5p 抑制骨关节炎中软骨细胞增殖^[4]。生物信息分析显示 Zest 同源物 2(EZH2)是 miR-127-5p 的可能靶点,其与癌症及骨关节炎软骨损伤和功能障碍均相关^[5-8],但 miR-127-5p 和 EZH2 之间的关系在骨关节炎进展中未见报道。本研究探讨 circ_0136474 影响骨关节炎软骨细胞增殖和凋亡的分子机制,现报告如下。

1 材料和方法

1.1 细胞与主要试剂

人软骨细胞系 CHON-001 购自美国典型培养物保藏中心;青霉素和 100 $\mu\text{g}/\text{mL}$ 链霉素购自 Gibco;小干扰 RNA circ_0136474(si-circ_0136474)和阴性对照(si-NC)载体、miR-127-5p 模拟物(miR-127-5p mimics)、miR-127-5p 抑制剂(anti-miR-127-5p)和阴性对照(anti-miR-NC)购自基因制药;SYBR Green PCR Master Mix(SR1120)购自索莱宝生物科技有限公司;IL-6(H007-1-1)、TNF- α (H052-1-2)、MMP-13(H459-1)ELISA 试剂盒购自南京建成生物工程研究所;Trizol(15596026)、Annexin V-FITC 试剂盒(C1062S)、CCK-8(C0038)购自上海碧云天生物技术有限公司;Bcl-2(ab182858)、Bax(ab32503)、EZH2(ab307646)、HRP 标记的山羊抗兔 IgG(ab272685)购自英国 Abcam 公司。

1.2 方法

1.2.1 软骨组织收集 收集 2022 年 7 月至 2023 年 6 月在本院住院治疗的半月板损伤和膝骨关节炎患者资料,各 10 例。所有骨关节炎患者确诊明确,且无其他基础疾病。患者均取关节软骨组织液氮中保存。所有骨关节炎患者均签署知情同意书。本研究得到了本院伦理委员会的批准。

1.2.2 细胞培养和 IL-1 β 诱导 将 CHON-001 细胞放入含有 10% FBS、100 U/mL 青霉素和 100 $\mu\text{g}/\text{mL}$ 链霉素的 DMEM 中,并于 37 $^{\circ}\text{C}$ 、5% CO₂ 培养箱中进行传代培养。待细胞融合度达 70% 时,用 10 ng/mL 的 IL-1 β ^[9] 培养 24 h,以未进行 IL-1 β 诱导的 CHON-001 细胞作为对照组。

1.2.3 细胞转染和分组 将小干扰 RNA circ_0136474(si-circ_0136474)、miR-127-5p 模拟物/抑制剂和阴性对照参照 LipofectamineTM 2000 试剂盒进行转染,将细胞分为对照组、模型组(IL-1 β 组)、si-NC 组、si-circ_0136474 组、si-circ_0136474+anti-miR-NC 组、si-circ_0136474+anti-miR-127-5p 组、miR-NC 组和 miR-127-5p mimics 组。

1.2.4 双荧光素酶报告基因测定 根据 miR-127-5p 在 circ_0136474 和 EZH2 3'UTR 中的结合位点,将 circ_0136474 和 EZH2 3'UTR 的野生型(wt)和突变型(mut)序列插入 psi-CHECK-2 载体中。CHON-001 细胞接种于 24 孔板(5×10^4 个/孔)。细胞生长到 60% 融合度后,将构建的 circ_0136474-wt/mut、EZH2-wt/mut 载体质粒转染到含有 miR-NC 或 miR-127-5p mimics 的细胞中 48 h。双荧光素酶报告系统检测相应荧光素酶活性。

1.2.5 RT-qPCR 处理 将 Trizol 提取的 RNA 反转录成 cDNA,用 SYBR Green 进行 RT-qPCR 处理,用 $2^{-\Delta\Delta\text{Ct}}$ 法计算 circ_0136474、miR-127-5p 相对表达量。circ_0136474 正向引物 5'-TGCCATCACAGTGGAAAT-AC-3' 和反向引物 5'-GGTTGTCATAAGCAGGACCA-3'; miR-127-5p 正向引物 5'-GCCGAGCTGAAGCTCAGA-GG' 和反向引物 5'-CTCAACTGGTGTCTGG-3'; EZH2 正向引物 5'-ACGTCAGATGGTGCCAGCAA-TA-3' 和反向引物 5'-CCCTGACCTCTGTCTCTTACT-TGGA-3'; 增殖细胞核抗原(PCNA)正向引物 5'-GT-GTTGGAGGCCTCAAGGA-3' 和反向引物 5'-TAG-GTGTGCGAAGCCCTCAGA-3'; GAPDH 正向引物 5'-TACCCCCAATGTGTCCGTC-3' 和反向引物 5'-GC-

CCAAGATGCCCTTCAGT-3'; U6 正向引物 5'-TGCG-GGTGCTCGCTTCGGCAGC-3' 和反向引物 5'-CCAGT-GCAGGGTCCGAGGT-3'。

1.2.6 细胞增殖检测 将转染后的 CHON-001 细胞接种在 96 孔板(2×10^6 个/孔)中, 培养 48 h。然后, 每孔加入 10 μ L CCK-8 试剂再培养 2 h。酶标仪检测 450 nm 处光密度(OD)值。

1.2.7 细胞周期检测 将各组转染后的细胞接种于 24 孔板(2.5×10^5 个/孔), 培养 48 h 后, PBS 冲洗, 吸取 1 mL 预冷的 70% 乙醇, 混悬细胞, 4 ℃ 冰箱固定, 1 000 r/min 离心 5 min, 弃上清, PBS 洗涤。加入 0.5 μ L 蛋白酶体抑制剂(PI), 室温培养 30 min, 流式细胞仪检测。

1.2.8 细胞凋亡检测 收集各组转染后的 CHON-001 细胞, 用浓度为 1×10^6 个/mL 的结合缓冲液悬浮, 然后用 10 μ L Annexin V-FITC 和 10 μ L PI 对细胞悬液进行染色。将染色细胞用 300 μ L 结合缓冲液稀释, 流式细胞仪分析细胞凋亡情况。

1.2.9 炎症因子检测 根据制造商说明, 通过 IL-6、TNF- α 、MMP-13 检测试剂盒检测各组细胞中 IL-6、TNF- α 、MMP-13 水平。

1.2.10 Western Blot 检测 提取各组 CHON-001 细胞中的总蛋白, RIPA 裂解, BCA 检测蛋白浓度。将蛋白质在 SDS-PAGE 上分离并转移到 PVDF 膜上。脱脂牛奶封闭后, 将膜与一抗 Bcl-2、Bax、EZH2 在 4 ℃ 下孵育过夜, 洗涤, 加入 HRP 标记的山羊抗兔 IgG 二抗, 室温孵育 1 h, ECL 显色后, 以 GAPDH 为内参, 用 Image J 软件计算蛋白表达。

1.3 统计学方法

采用 SPSS 22.0 进行统计分析, 计量资料以 $\bar{x} \pm s$ 形式表示。采用单因素方差分析进行多组间比较, LSD-t 用于两组间比较, $P < 0.05$ 差异有统计学意义。

2 结果

2.1 circ_0136474 在骨关节炎患者中的表达

与正常软骨组织组比, 骨关节炎组软骨组织中 circ_0136474 的表达显著增加, 差异有统计学意义 ($P < 0.05$), 见表 1。经 RNase R 消化后, GAPDH 的相对表达量显著降低, circ_0136474 的相对表达不受

影响, 差异无统计学意义, 见表 2。

表 1 RT-qPCR 检测骨关节炎软骨组织中 circ_0136474 表达($n=10, \bar{x} \pm s$)

组别	circ_0136474
正常软骨组织组	1.13 ± 0.08
骨关节炎组	$2.47 \pm 0.24^{1)}$
<i>t</i>	16.750
<i>P</i>	<0.001

注:1)与正常软骨组织组比, $P < 0.05$ 。

表 2 RNase R 对 circ_0136474 的影响($n=10, \bar{x} \pm s$)

组别	GAPDH	circ_0136474
对照组	1.00 ± 0.06	0.98 ± 0.05
RNase R 组	$0.46 \pm 0.04^{1)}$	0.95 ± 0.04
<i>t</i>	23.681	1.482
<i>P</i>	<0.001	>0.05

注:1)与对照组比, $P < 0.05$ 。

2.2 miR-127-5p 与 circ_0136474 及 EZH2 靶向关系验证

StarBase 预测显示, miR-127-5p 与 circ_0136474 及 EZH2 之间存在结合位点(见图 1)。双荧光素酶实验结果显示, 与 miR-NC 组比, miR-127-5p mimics 组 circ_0136474-wt、EZH2-wt 相对荧光素酶活性显著降低, 差异有统计学意义($P < 0.05$), circ_0136474-mut、EZH2-mut 差异无统计学意义($P > 0.05$), 见表 3。RT-qPCR 检测结果显示, 与 miR-NC 组比, miR-127-5p mimics 组 miR-127-5p 表达显著升高, EZH2 表达显著降低, 差异有统计学意义($P < 0.05$), 见表 4。



注: 1-miR-127-5p 与 circ_0136474 靶向关系; 2-miR-127-5p 与 EZH2 靶向关系

图 1 StarBase 预测 miR-127-5p 与 circ_0136474 及 EZH2 之间的靶向关系

2.3 circ_0136474 通过靶向 miR-127-5p 对 EZH2 表达的影响

与对照组比, IL-1 β 组 circ_0136474、EZH2 蛋白表达、EZH2 mRNA 表达显著增加, miR-127-5p 表达显著降低, 差异有统计学意义($P < 0.05$); 与 si-NC 组比,

表 3 双荧光素酶报告基因检测结果($n=5, \bar{x} \pm s$)

组别	circ_0136474-wt	circ_0136474-mut	EZH2-wt	EZH2-mut
miR-NC 组	1.00 ± 0.06	1.00 ± 0.05	1.03 ± 0.04	1.00 ± 0.03
miR-127-5p mimics 组	$0.43 \pm 0.08^{1)}$	0.97 ± 0.06	$0.38 \pm 0.03^{1)}$	0.98 ± 0.05
<i>t</i>	12.746	0.859	29.069	0.767
<i>P</i>	<0.001	>0.05	<0.001	>0.05

注:1)与 miR-NC 组比, $P < 0.05$ 。

表 4 RT-qPCR 检测 miR-127-5p 及 EZH2 表达($n=5, \bar{x} \pm s$)

组别	miR-127-5p	EZH2 蛋白	EZH2 mRNA
miR-NC 组	1.00±0.04	0.97±0.06	1.00±0.02
miR-127-5p mimics 组	1.58±0.14 ¹⁾	0.52±0.04 ¹⁾	0.57±0.05 ¹⁾
<i>t</i>	8.907	13.954	17.855
<i>P</i>	<0.001	<0.001	<0.001

注:1)与 miR-NC 组比, $P<0.05$ 。

si-circ_0136474 组 circ_0136474、EZH2 蛋白和 mRNA 表达显著降低, miR-127-5p 表达显著增加, 差异有统计学意义 ($P<0.05$); 与 si-circ_0136474 + anti-miR-NC 组比, si-circ_0136474 + anti-miR-127-5p 组 EZH2 蛋白表达、EZH2 mRNA 表达显著增加, miR-127-5p 表达显著降低, 差异有统计学意义 ($P<0.05$); IL-1 β 组和 si-NC 组、si-circ_0136474 组和 si-circ_0136474 + anti-miR-127-5p 组比, 差异无统计学意义 ($P>0.05$), 见图 2 及表 5。

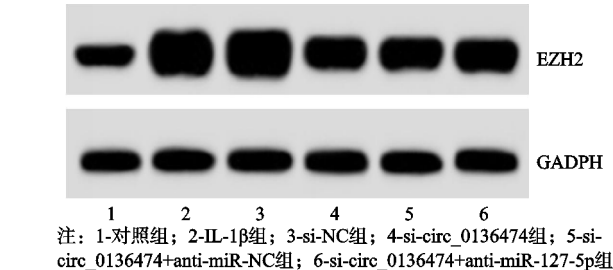
表 5 RT-qPCR 和 Western Blot 检测软骨细胞中 circ_0136474 和 miR-127-5p 表达($n=5, \bar{x} \pm s$)

组别	circ_0136474	miR-127-5p	EZH2 蛋白	EZH2 mRNA
对照组	0.39±0.04	1.67±0.09	0.47±0.05	1.02±0.04
IL-1 β 组	0.96±0.04 ¹⁾	0.97±0.06 ¹⁾	0.96±0.06 ¹⁾	2.31±0.32 ¹⁾
si-NC 组	0.99±0.06	1.00±0.05	0.98±0.04	2.37±0.35
si-circ_0136474 组	0.52±0.05 ²⁾	1.53±0.23 ²⁾	0.56±0.06 ²⁾	1.42±0.16 ²⁾
si-circ_0136474 + anti-miR-NC 组	0.49±0.03	1.50±0.26	0.54±0.04	1.46±0.20
si-circ_0136474 + anti-miR-127-5p 组	0.46±0.05	1.09±0.12 ³⁾	0.77±0.08 ³⁾	1.81±0.28 ³⁾
<i>F</i>	168.449	19.015	77.078	23.085
<i>P</i>	<0.001	<0.001	<0.001	<0.001

注:1)与对照组比, $P<0.05$; 2)与 si-NC 组比, $P<0.05$; 3)与 si-circ_0136474 + anti-miR-NC 组比, $P<0.05$ 。

2.4 circ_0136474 靶向 miR-127-5p 对 IL-1 β 诱导的软骨细胞增殖和细胞周期的影响

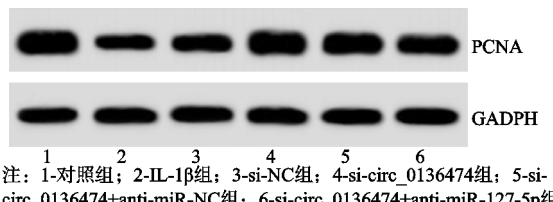
与对照组比, IL-1 β 组细胞活力、增殖细胞核抗原蛋白和增殖细胞核抗原 mRNA 显著降低, G0~G1 期延长, S 期缩短, 差异有统计学意义 ($P<0.05$), G2~M 期无明显变化, 差异无统计学意义 ($P>0.05$); 与 si-NC 组比, si-circ_0136474 组细胞活力、增殖细胞核抗原蛋白和增殖细胞核抗原 mRNA 显著增加, G0~G1 期缩短, S 期延长, 差异有统计学意义 ($P<0.05$), G2~M 期无明显变化, 差异无统计学意义 ($P>0.05$); 与 si-circ_0136474 + anti-miR-NC 组比, si-circ_0136474 + anti-miR-127-5p 组细胞活力、增殖细胞核



注: 1-对照组; 2-IL-1 β 组; 3-si-NC组; 4-si-circ_0136474组; 5-si-circ_0136474+anti-miR-NC组; 6-si-circ_0136474+anti-miR-127-5p组

图 2 Western Blot 检测 EZH2 表达

抗原蛋白和增殖细胞核抗原 mRNA 显著降低, G0~G1 期延长, S 期缩短, 差异有统计学意义 ($P<0.05$), G2~M 期无明显变化, 差异无统计学意义 ($P>0.05$); IL-1 β 组和 si-NC 组、si-circ_0136474 组和 si-circ_0136474 + anti-miR-127-5p 组比, 差异无统计学意义 ($P>0.05$), 见图 3 及表 6 和表 7。



注: 1-对照组; 2-IL-1 β 组; 3-si-NC组; 4-si-circ_0136474组; 5-si-circ_0136474+anti-miR-NC组; 6-si-circ_0136474+anti-miR-127-5p组

图 3 Western Blot 检测增殖细胞核抗原表达

表 6 circ_0136474 靶向 miR-127-5p 对 IL-1 β 诱导的软骨细胞增殖和细胞周期的影响($n=5, \bar{x} \pm s$)

组别	细胞活力(OD)	G0~G1 期	S 期	G2~M 期
对照组	0.86±0.05	35.46±0.29	33.34±0.31	32.73±0.27
IL-1 β 组	0.41±0.03 ¹⁾	41.35±0.42 ¹⁾	26.18±0.21 ¹⁾	33.65±0.24
si-NC 组	0.42±0.02	41.71±0.45	26.06±0.23	33.58±0.23
si-circ_0136474 组	0.79±0.07 ²⁾	37.83±0.34 ²⁾	29.64±0.28 ²⁾	33.46±0.21
si-circ_0136474 + anti-miR-NC 组	0.81±0.05	37.62±0.32	29.82±0.30	33.12±0.34
si-circ_0136474 + anti-miR-127-5p 组	0.65±0.04 ³⁾	39.09±0.35 ³⁾	27.47±0.25 ³⁾	33.08±0.32
<i>F</i>	93.531	213.060	544.592	8.442
<i>P</i>	<0.001	<0.001	<0.001	<0.001

注:1)与对照组比, $P<0.05$; 2)与 si-NC 组比, $P<0.05$; 3)与 si-circ_0136474 + anti-miR-NC 组比, $P<0.05$ 。

表 7 circ_0136474 靶向 miR-127-5p 对 IL-1 β 诱导的软骨细胞增殖蛋白的影响($n=5, \bar{x} \pm s$)

组别	增殖细胞核抗原蛋白	增殖细胞核抗原 mRNA
对照组	1.00±0.04	1.78±0.31
IL-1 β 组	0.46±0.07 ¹⁾	1.00±0.02 ¹⁾
si-NC 组	0.44±0.06	1.03±0.04
si-circ_0136474 组	0.79±0.09 ²⁾	1.64±0.27 ²⁾
si-circ_0136474+anti-miR-NC 组	0.76±0.07	1.61±0.25
si-circ_0136474+anti-miR-127-5p 组	0.91±0.05 ³⁾	1.14±0.07 ³⁾
<i>F</i>	62.516	15.200
<i>P</i>	<0.001	<0.001

注:1)与对照组比, $P<0.05$;2)与 si-NC 组比, $P<0.05$;3)与 si-circ_0136474+anti-miR-NC 组比, $P<0.05$ 。

2.5 circ_0136474 靶向 miR-127-5p 对 IL-1 β 诱导的软骨细胞凋亡的影响

与对照组比,IL-1 β 组细胞凋亡率、Bax 表达显著增加,Bcl-2 表达显著降低,差异有统计学意义($P<0.05$);与 si-NC 组比,si-circ_0136474 组细胞凋亡率、Bax 表达显著降低,Bcl-2 表达显著增加,差异有统计学意义($P<$

0.05);与 si-circ_0136474+anti-miR-NC 组比,si-circ_0136474+anti-miR-127-5p 组细胞凋亡率、Bax 表达显著增加,Bcl-2 表达显著降低,差异有统计学意义($P<0.05$),IL-1 β 组和 si-NC 组、si-circ_0136474 组和 si-circ_0136474+anti-miR-127-5p 组比,差异无统计学意义($P>0.05$),见图 4 和图 5 及表 8。

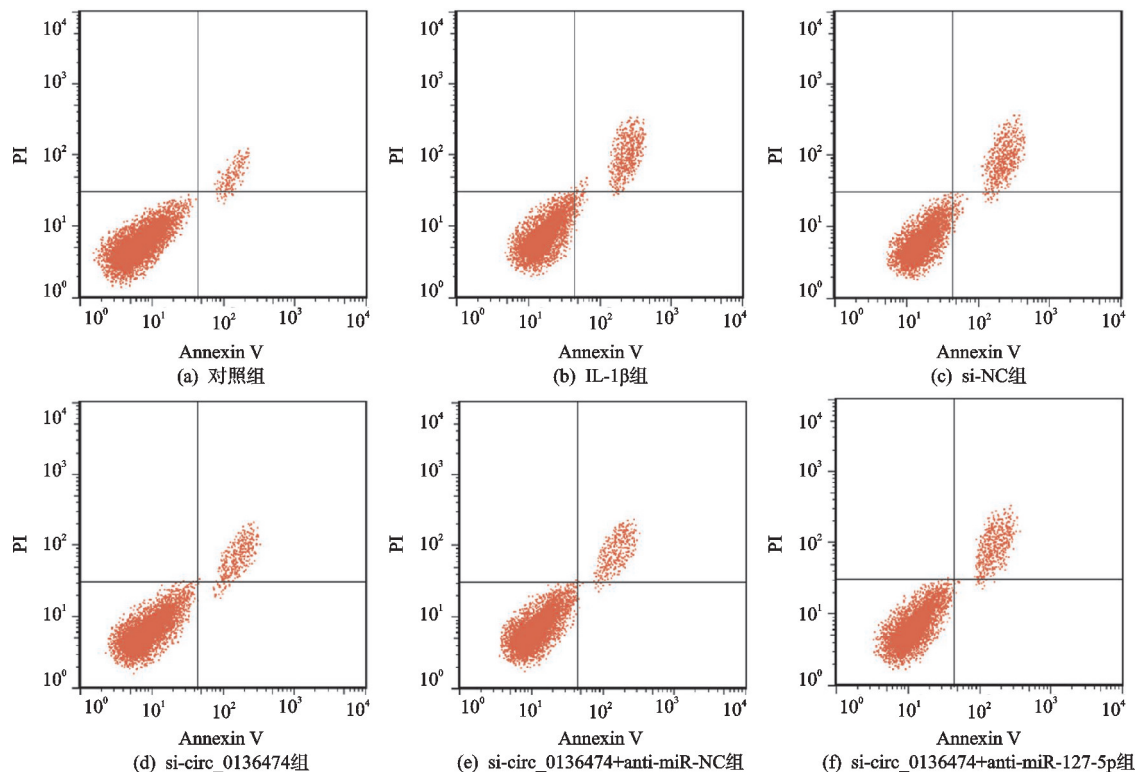


图 4 流式细胞仪检测细胞凋亡情况

表 8 circ_0136474 靶向 miR-127-5p 对 IL-1 β 诱导的软骨细胞凋亡的影响($n=5, \bar{x} \pm s$)

组别	细胞凋亡率/%	Bcl-2	Bax
对照组	3.47±0.08	1.00±0.04	0.46±0.05
IL-1 β 组	16.23±0.26 ¹⁾	0.29±0.06 ¹⁾	0.93±0.08 ¹⁾
si-NC 组	16.30±0.27	0.27±0.04	0.91±0.06
si-circ_0136474 组	8.14±0.13 ²⁾	0.72±0.13 ²⁾	0.64±0.03 ²⁾
si-circ_0136474+anti-miR-NC 组	8.20±0.15	0.71±0.15	0.65±0.05
si-circ_0136474+anti-miR-127-5p 组	11.43±0.18 ³⁾	0.52±0.09 ³⁾	0.80±0.07 ³⁾
<i>F</i>	3 498.477	43.818	47.505
<i>P</i>	<0.001	<0.001	<0.001

注:1)与对照组比, $P<0.05$;2)与 si-NC 组比, $P<0.05$;3)与 si-circ_0136474+anti-miR-NC 组比, $P<0.05$ 。

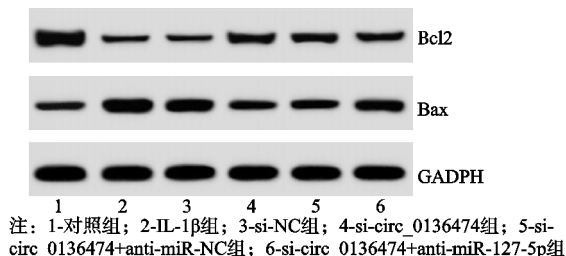


图 5 Western Blot 检测 Bcl2 及 Bax 表达

2.6 沉默 circ_0136474 对 IL-1 β 诱导的炎症因子的影响

表 9 沉默 circ_0136474 对 IL-6、TNF- α 、MMP-13 的影响($n=5, \bar{x} \pm s, \text{pg/mL}$)

组别	IL-6	TNF- α	MMP-13
对照组	36.59 ± 4.13	23.19 ± 1.12	46.35 ± 5.46
IL-1 β 组	$259.67 \pm 14.56^1)$	$159.38 \pm 12.34^1)$	$319.28 \pm 14.33^1)$
si-NC 组	271.33 ± 15.14	155.41 ± 11.17	313.44 ± 13.17
si-circ_0136474 组	$91.26 \pm 10.31^2)$	$49.36 \pm 4.23^2)$	$77.37 \pm 7.25^2)$
si-circ_0136474+anti-miR-NC 组	97.44 ± 9.63	45.51 ± 3.79	74.19 ± 6.64
si-circ_0136474+anti-miR-127-5p 组	$213.28 \pm 12.25^3)$	$93.26 \pm 7.69^3)$	$236.72 \pm 10.37^3)$
F	364.303	278.584	783.161
P	<0.001	<0.001	<0.001

注:1)与对照组比, $P<0.05$;2)与 si-NC 组比, $P<0.05$;3)与 si-circ_0136474+anti-miR-NC 组比, $P<0.05$ 。

3 讨论

circRNA 是一种非编码 RNA,已被证实是治疗骨关节炎的潜在标志物^[10]。circRNA 在骨关节炎患者中差异表达,参与多基因、多靶点调控网络,通过调节增殖、凋亡、分化、氧化应激、炎症反应参与骨关节炎发展^[11]。相关研究表明 circ_0136474 在骨关节炎软骨组织和 IL-1 β 诱导的 CHON-001 细胞中上调,下调 circ_0136474 增强了细胞增殖和细胞周期进程,抑制细胞凋亡,减轻软骨细胞损伤^[9,12]。本研究发现 circ_0136474 在骨关节炎软骨组织中高表达,经 RNase R 消化后,circ_0136474 的相对表达不受影响。此外,沉默 circ_0136474 可促进细胞增殖,延长 S 期,抑制细胞凋亡,并减少 IL-6、TNF- α 、MMP-13 释放,这与已有研究结果一致^[9],说明敲掉 circ_0136474 基因可保护软骨细胞免受损伤。

本研究结果还显示 circ_0136474 与 miR-127-5p 存在靶向关系,过表达 miR-127-5p 可降低 circ_0136474-wt 荧光素酶活性,提示 miR-127-5p 是 circ_0136474 的靶标。miR-127-5p 在骨关节炎的进展中发挥重要作用,Liu 等^[13]研究显示沉默 miR-127-5p 可抑制下调 circ_0002715 对软骨细胞损伤的保护作用,且过表达 miR-127-5p 可通过下调 LXN 表达抑制软骨细胞损伤。Zhang 等^[14]研究显示 IL-1 β 处理降低了 miR-127-5p 表达,过表达 miR-127-5p 抑制 IL-1 β 引起的软骨细胞损伤。miR-127-5p 可直接靶向烟酰胺磷酸核糖转移酶(NAMPT)促进细胞活力并抑制骨关节炎软骨细胞凋亡、炎症和细胞外基质(ECM)降解^[15]。

与对照组比,IL-1 β 组 IL-6、TNF- α 、MMP-13 显著增加,差异有统计学意义($P<0.05$);与 si-NC 组比,si-circ_0136474 组 IL-6、TNF- α 、MMP-13 显著降低,差异有统计学意义($P<0.05$);与 si-circ_0136474+anti-miR-NC 组比,si-circ_0136474+anti-miR-127-5p 组 IL-6、TNF- α 、MMP-13 显著增加,差异有统计学意义($P<0.05$);IL-1 β 组和 si-NC 组、si-circ_0136474 组和 si-circ_0136474+anti-miR-127-5p 组比,差异无统计学意义($P>0.05$),见表 9。

与这些研究结果一致,本研究发现抑制 miR-127-5p 表达可逆转沉默 circ_0136474 对软骨细胞凋亡及 IL-6、TNF- α 、MMP-13 的抑制作用,提示沉默 circ_0136474 可负向调控 miR-127-5p 促进细胞增殖并抑制细胞凋亡。

EZH2 是 Polycomb 抑制复合物 2(PRC2)的催化亚基,其 C 端的 SET 结构域表现出甲基转移酶活性,通过组蛋白 H3 赖氨酸 27(H3K27)甲基化抑制靶基因表达^[16],EZH2 缺失可显著降低 PRC2 靶基因上的 H3K27 me3。越来越多的研究表明,EZH2 与骨关节炎的进展相关。据相关研究显示,骨关节炎患者中 EZH2 表达上调,EZH2 通过激活 TNFSF13B 促进软骨细胞愈合,改善骨关节炎^[17]。在骨关节炎软骨细胞中,过表达 miR-140-3p 通过靶向 EZH2 保护软骨细胞免受 IL-1 β 诱导的功能障碍影响^[18],抑制 EZH2 表达可增强 IL-1 β 诱导的软细胞凋亡和细胞外基质降解^[19-20]。本研究结果显示 EZH2 是 miR-127-5p 的靶标,过表达 miR-127-5p 可显著降低 EZH2 蛋白和 EZH2 mRNA 水平,抑制 miR-127-5p 表达可逆转沉默 circ_0136474 对细胞凋亡、炎症因子、EZH2 蛋白和 EZH2 mRNA 水平的抑制作用,延长 G0~G1 期。以上结果说明,沉默 circ_0136474 可通过调控 miR-127-5p/EZH2 轴促进软骨细胞增殖,抑制细胞凋亡。

综上所述,circ_0136474 在骨关节炎患者软骨细胞中高表达,沉默 circ_0136474 可通过调控 miR-127-5p/EZH2 轴促进软骨细胞增殖,抑制细胞凋亡。然而,本研究未进行动物实验验证,circ_0136474 对骨关

节炎的作用机制还需进一步明确。

参考文献

- [1] EMAMI A, NAMDARI H, PARVIZPOUR F, et al. Challenges in osteoarthritis treatment[J]. *Tissue Cell*, 2023, 80(1):101992-102003.
- [2] HE Y, LI Z, ALEXANDER P G, et al. Pathogenesis of osteoarthritis: risk factors, regulatory pathways in chondrocytes, and experimental models[J]. *Biology (Basel)*, 2020, 9(8):194-227.
- [3] CHENG S, NIE Z, CAO J, et al. Circ_0136474 promotes the progression of osteoarthritis by sponging miR-140-3p and upregulating MECP2[J]. *J Mol Histol*, 2023, 54(1):1-12.
- [4] LI Z, YUAN B, PEI Z, et al. Circ_0136474 and MMP-13 suppressed cell proliferation by competitive binding to miR-127-5p in osteoarthritis[J]. *J Cell Mol Med*, 2019, 23(10):6554-6564.
- [5] LUO L, WANG Z, HU T, et al. Multiomics characteristics and immunotherapeutic potential of EZH2 in pan-cancer [J]. *Biosci Rep*, 2023, 43(1): BSR20222230-BSR20222252.
- [6] LUI JC, GARRISON P, NGUYEN Q, et al. EZH1 and EZH2 promote skeletal growth by repressing inhibitors of chondrocyte proliferation and hypertrophy[J]. *Nat Commun*, 2016, 7(1):13685-13696.
- [7] ALLAS L, BROCHARD S, ROCHEUX Q, et al. EZH2 inhibition reduces cartilage loss and functional impairment related to osteoarthritis[J]. *Sci Rep*, 2020, 10(1):19577-19589.
- [8] CHEN L, WU Y, WU Y, et al. The inhibition of EZH2 ameliorates osteoarthritis development through the Wnt/β-catenin pathway[J]. *Sci Rep*, 2016, 6(1):29176-29189.
- [9] ZHU H, ZHU S, SHANG X, et al. Exhausting circ_0136474 and restoring miR-766-3p attenuate chondrocyte oxidative injury in IL-1β-induced osteoarthritis progression through regulating DNMT3A[J]. *Front Genet*, 2021, 12(1):1-13.
- [10] LI Z, LU J. CircRNAs in osteoarthritis: research status and prospect[J]. *Front Genet*, 2023, 14(1):1-19.
- [11] ZHANG Y, LIU L, LIU K, et al. Regulatory mechanism of circular RNA involvement in osteoarthritis[J]. *Front Surg*, 2022, 9(1):1-13.
- [12] PAN F, LI Z, LUO Y, et al. Circ_0136474 contributes to the IL-1β-induced chondrocyte injury by binding to miR-665 to induce the FGFR1 upregulation[J]. *Transpl Immunol*, 2022:101615.
- [13] LIU H, ZHAO H, HUANG Y, et al. Circ_0002715 promotes the development of osteoarthritis through regulating LXN by sponging miR-127-5p[J]. *J Orthop Surg Res*, 2023, 18(1):230-240.
- [14] ZHANG Y, ZHAO P, LI S, et al. CircSCAPER knockdown attenuates IL-1β-induced chondrocyte injury by miR-127-5p/TLR4 axis in osteoarthritis[J]. *Autoimmunity*, 2022, 55(8):577-586.
- [15] LIU C, CHENG P, LIANG J, et al. Circular RNA circ_0128846 promotes the progression of osteoarthritis by regulating miR-127-5p/NAMPT axis[J]. *J Orthop Surg Res*, 2021, 16(1):307-318.
- [16] HWANG I J, PARK J, SEO S B. Non-canonical transcriptional regulation of INHAT subunit SET/TAF-Iβ by EZH2[J]. *Biochem Biophys Res Commun*, 2022, 635(1):136-143.
- [17] DU X, CHEN Y, ZHANG Q, et al. EZH2 ameliorates osteoarthritis by activating TNFSF13B[J]. *J Bone Miner Res*, 2020, 35(5):956-965.
- [18] LUOBZ, WANG L, JIANG D, et al. CircSCAPER contributes to IL-1β-induced osteoarthritis in vitro via miR-140-3p/EZH2 axis[J]. *Bone Joint Res*, 2022, 11(2):61-72.
- [19] LI Y, YUAN F, SONG Y, et al. miR-17-5p and miR-19b-3p prevent osteoarthritis progression by targeting EZH2[J]. *Exp Ther Med*, 2020, 20(2):1653-1663.
- [20] CHENG F, LI H, LIU J, et al. EZH2 regulates the balance between osteoclast and osteoblast differentiation to inhibit arthritis-induced bone destruction[J]. *Genes Immun*, 2022, 23(3/4):141-148.

(收稿日期:2023-06-09)